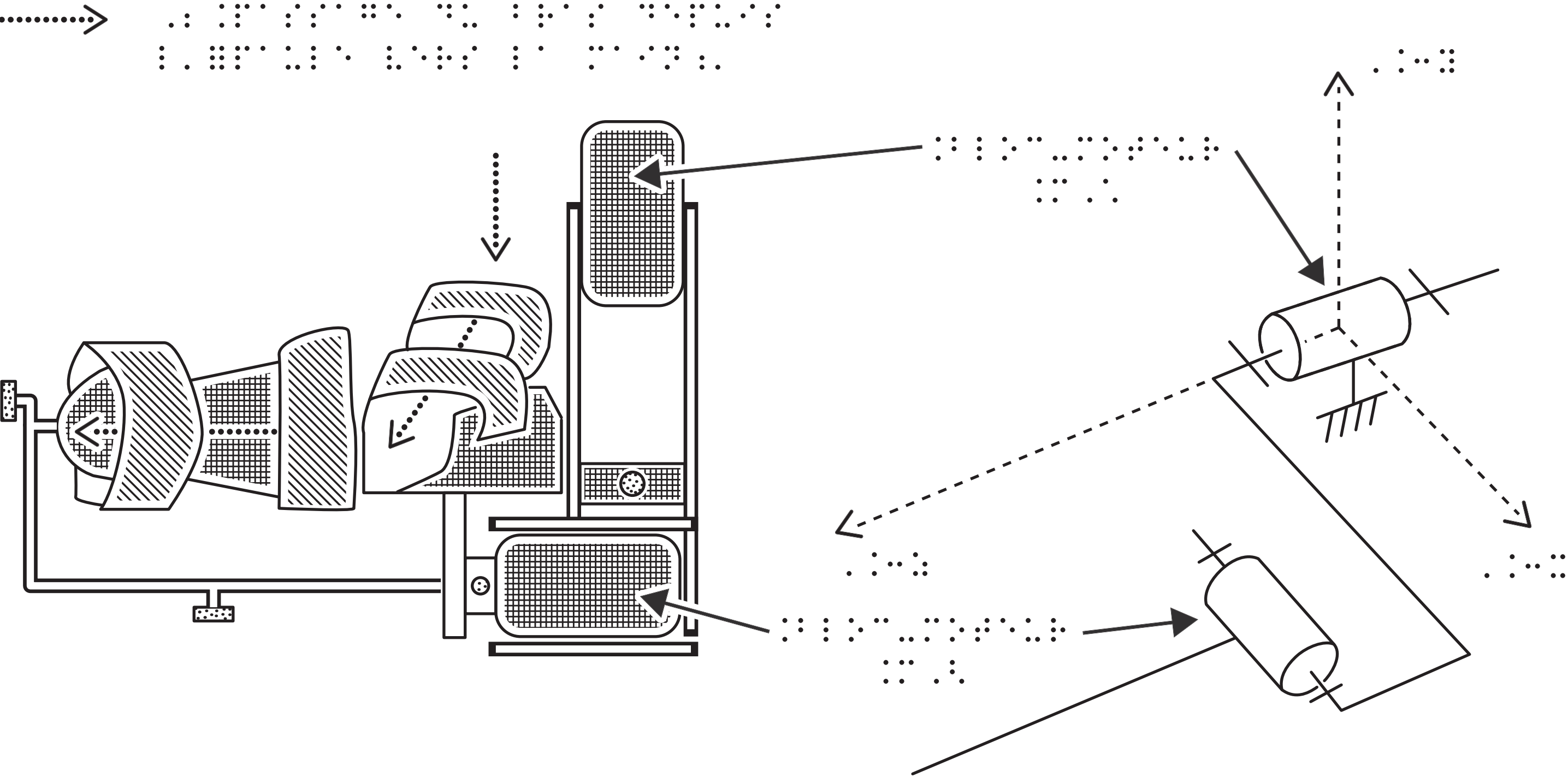
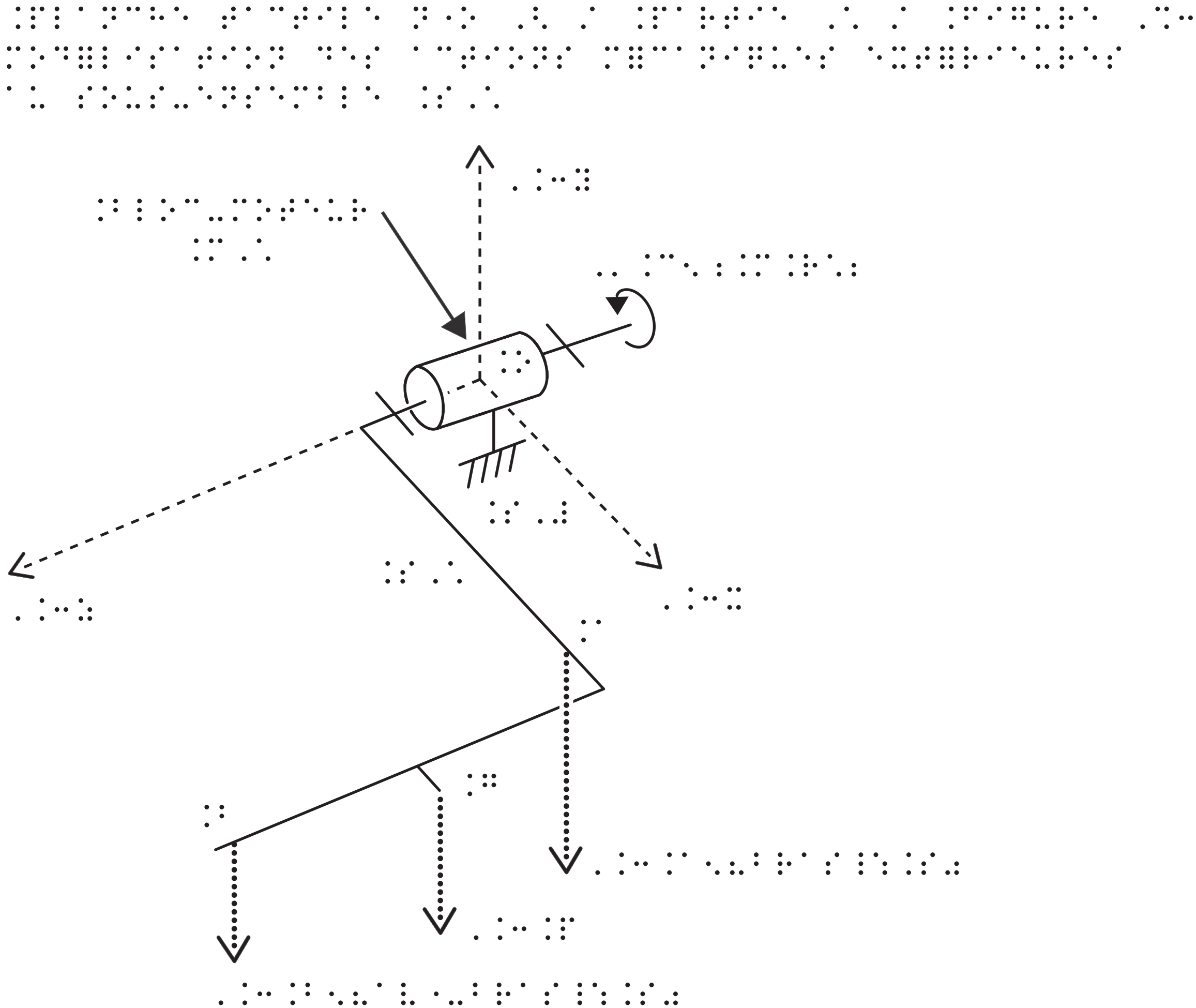
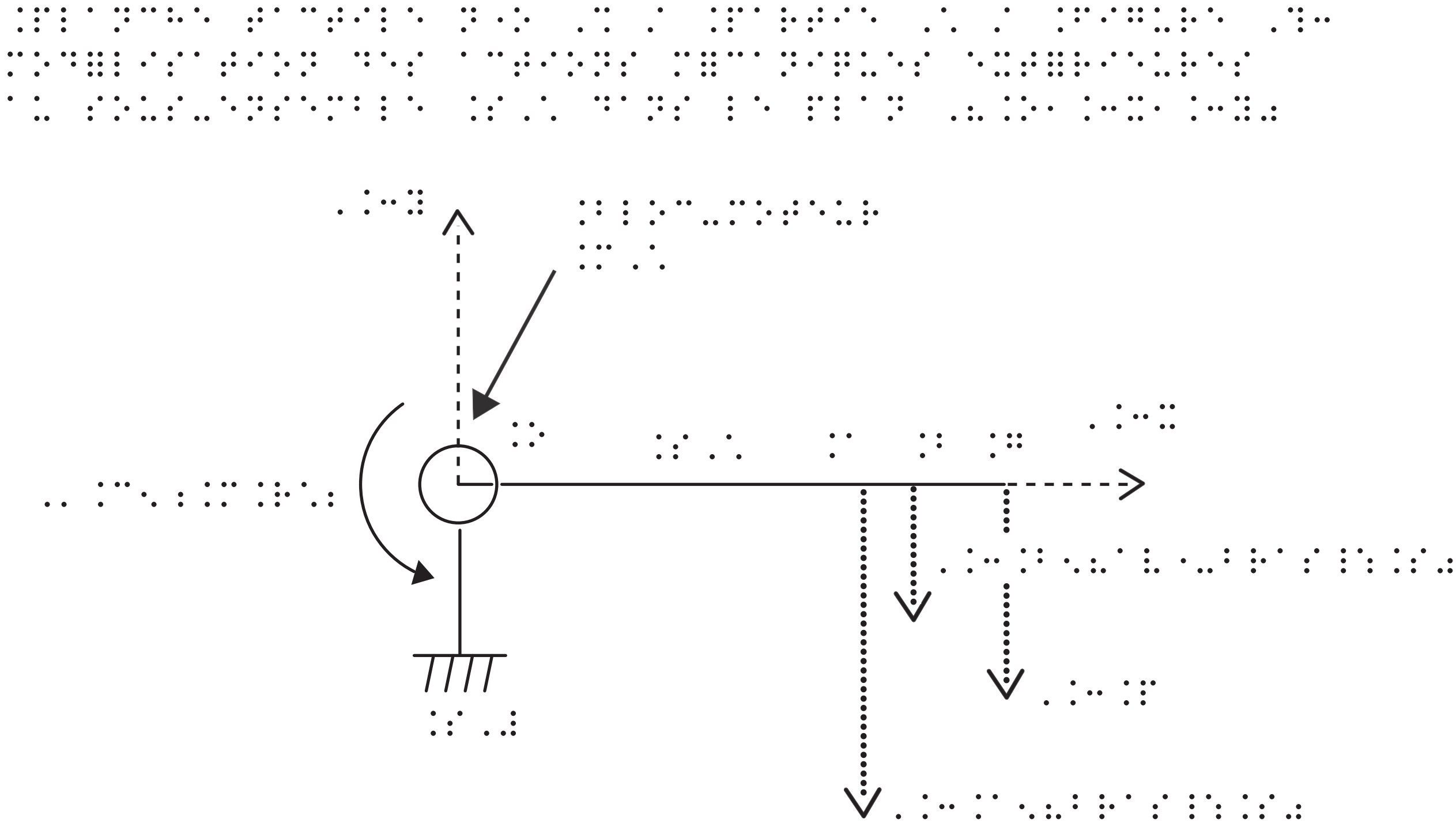


Le schéma illustre le mécanisme de mobilisation articulaire passive de l'épaule. À gauche, une vue en coupe transversale montre les composants mécaniques : un moteur électrique, une courroie, une poulie, un arbre de transmission, un pignon, un autre arbre, une deuxième poulie, et un bras articulé. Des flèches indiquent le mouvement de rotation et de translation. À droite, une représentation cinématique simplifiée utilise des cylindres pour les moteurs et des lignes pour les liaisons mécaniques, montrant comment les mouvements sont transmis et combinés pour mobiliser l'articulation.

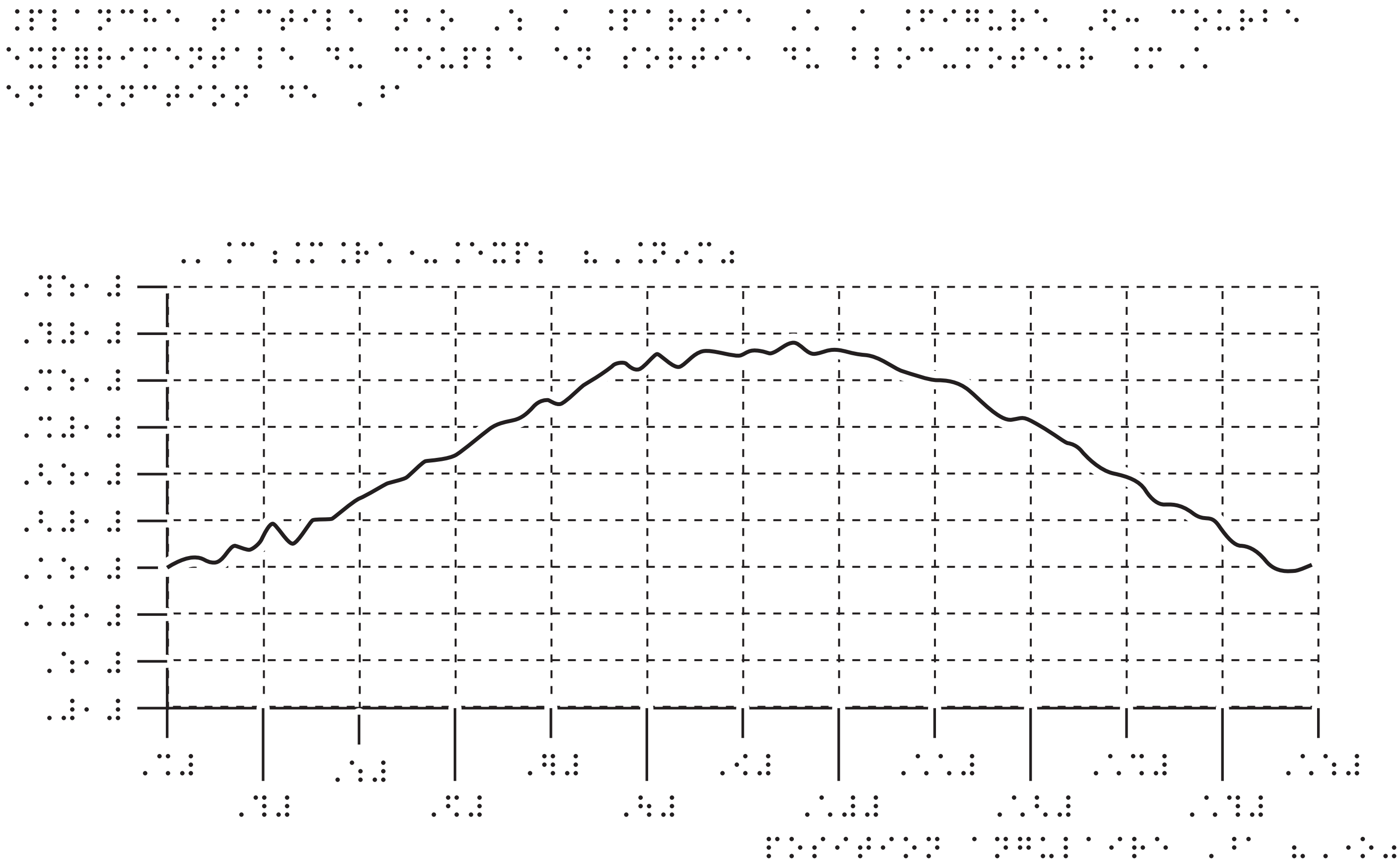


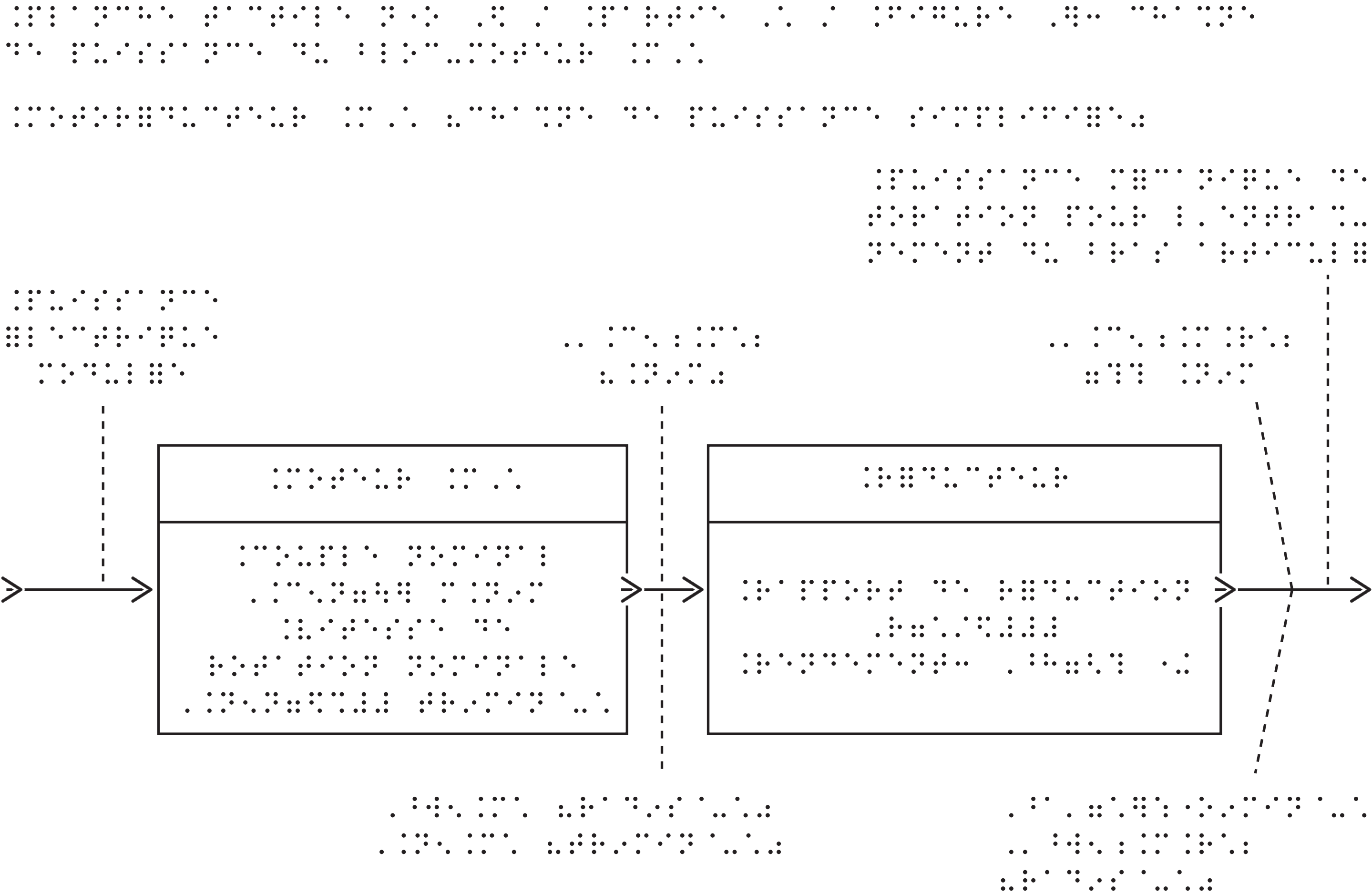


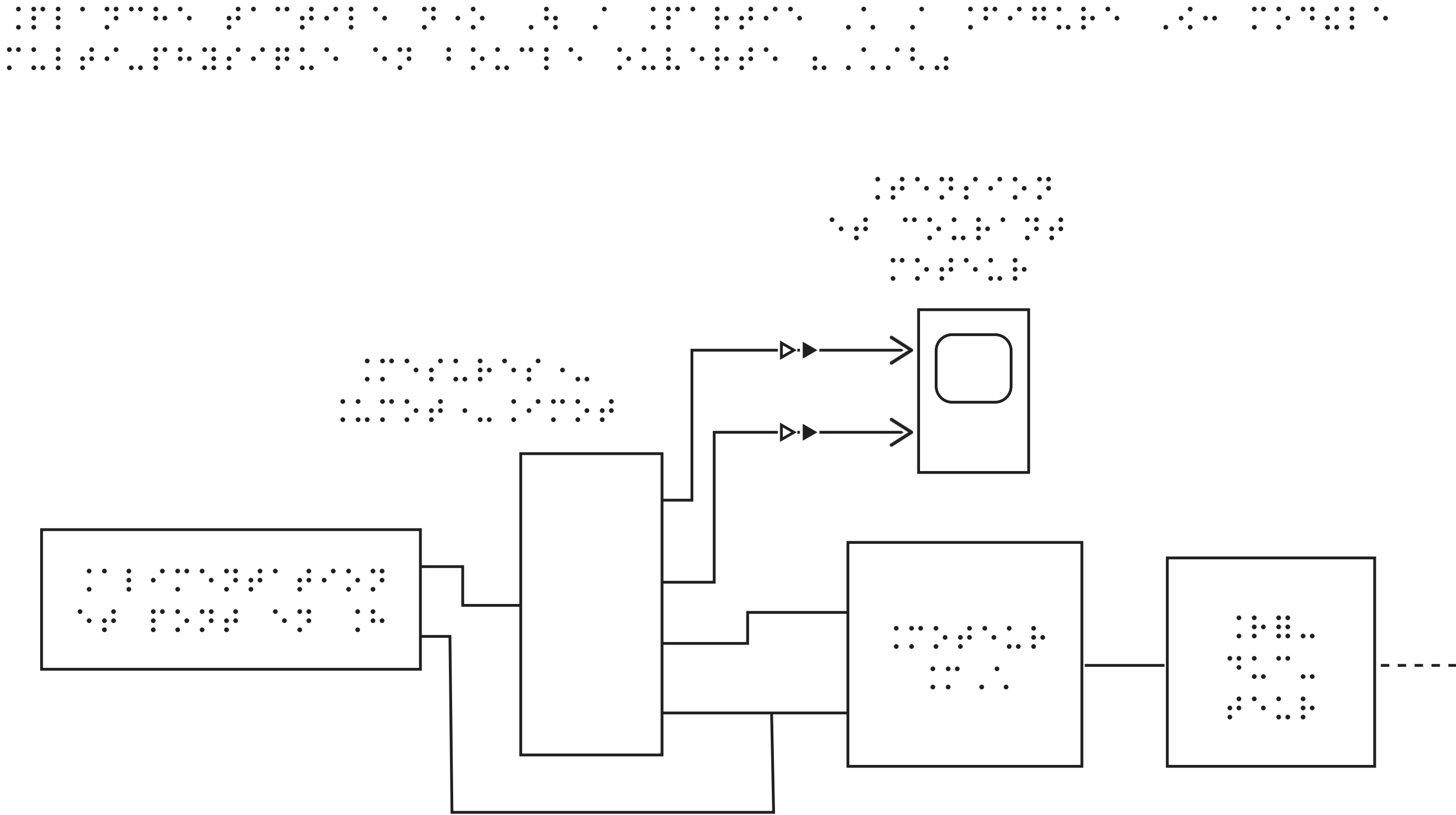


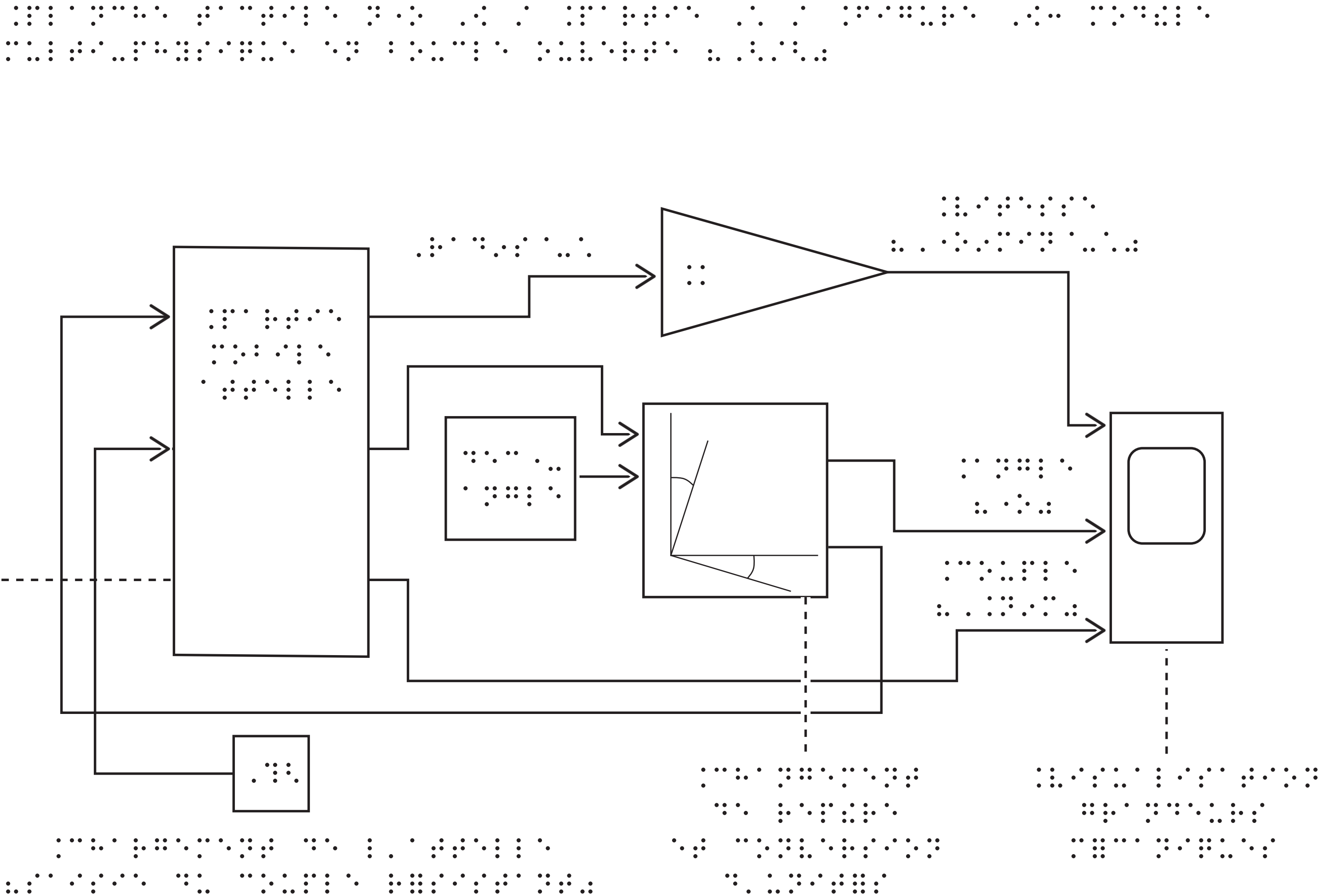
Le schéma ci-dessus représente la modélisation des actions mécaniques extérieures au sous-ensemble S1 dans le plan (O,  $\vec{x}$ ,  $\vec{y}$ ). Les actions sont :

- Une réaction d'appui  $R_y$  en O.
- Une force  $F_1$  appliquée en A.
- Une force  $F_2$  appliquée en B.
- Une force  $F_3$  appliquée en C.
- Un moment  $M$  appliqué en O.
- Une force  $F$  appliquée en D.









Le graphique ci-dessous illustre les résultats de la simulation pour une tension d'alimentation constante de 6,2 V. Il présente l'évolution de la tension de sortie ( $V_{out}$ ) en fonction du courant de charge ( $I_{load}$ ) pour trois configurations de la résistance de charge ( $R_{load}$ ) : 100  $\Omega$ , 200  $\Omega$  et 300  $\Omega$ . Les courbes montrent que la tension de sortie diminue légèrement avec l'augmentation du courant de charge, et que cette diminution est plus prononcée pour des valeurs plus élevées de  $R_{load}$ .

●●●●●●●●  $I_{load}$  (mA)      ———  $V_{out}$  (V) pour  $R_{load} = 100 \Omega$       - - -  $V_{out}$  (V) pour  $R_{load} = 200 \Omega$

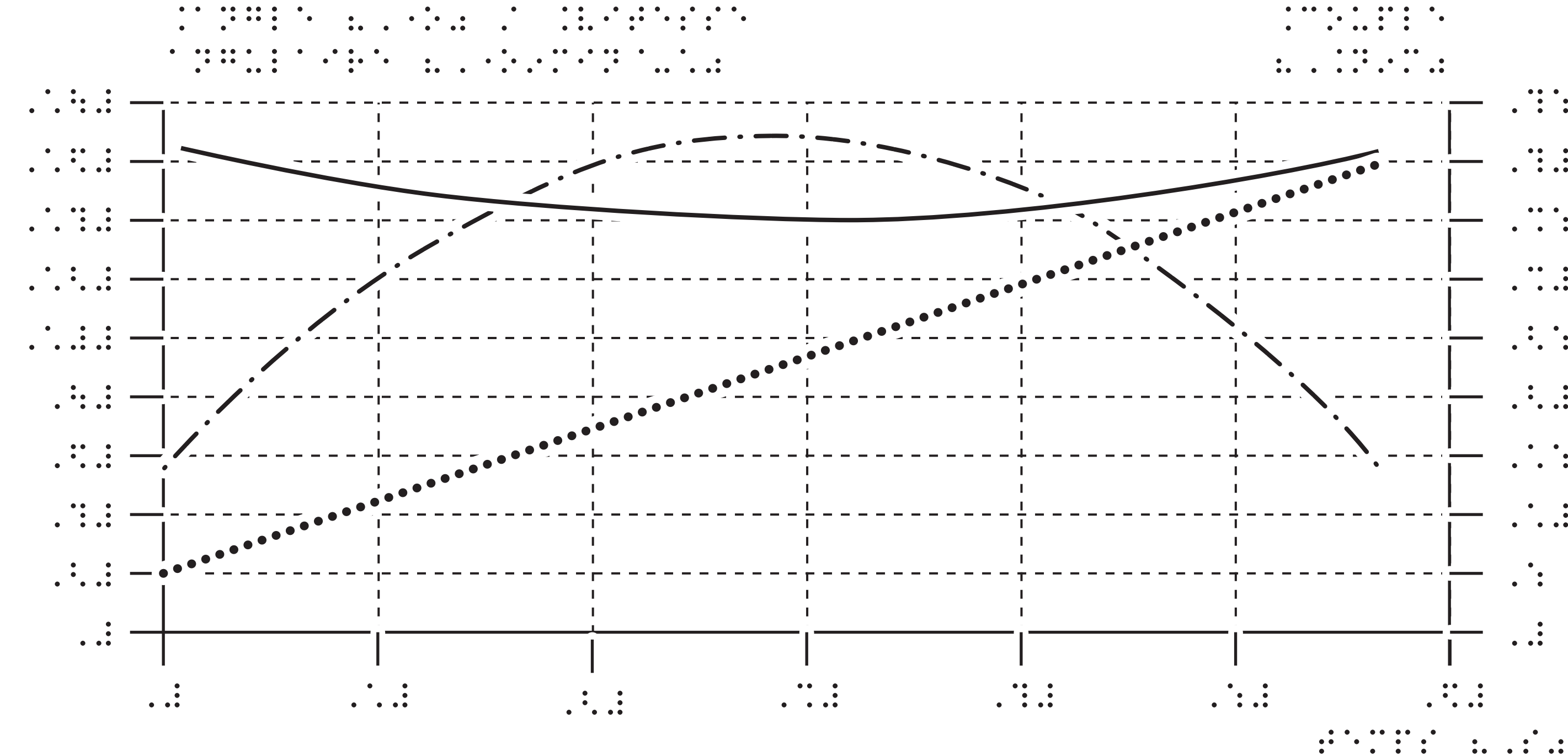
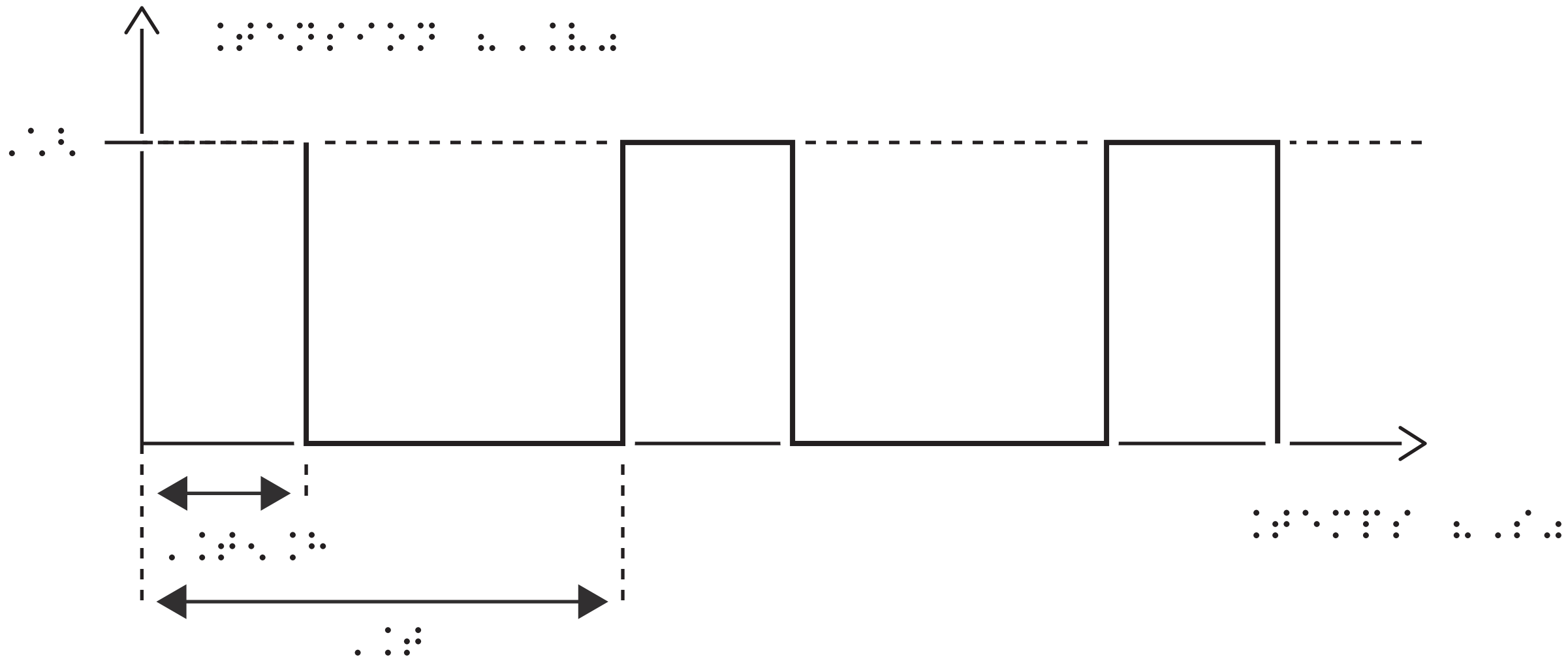
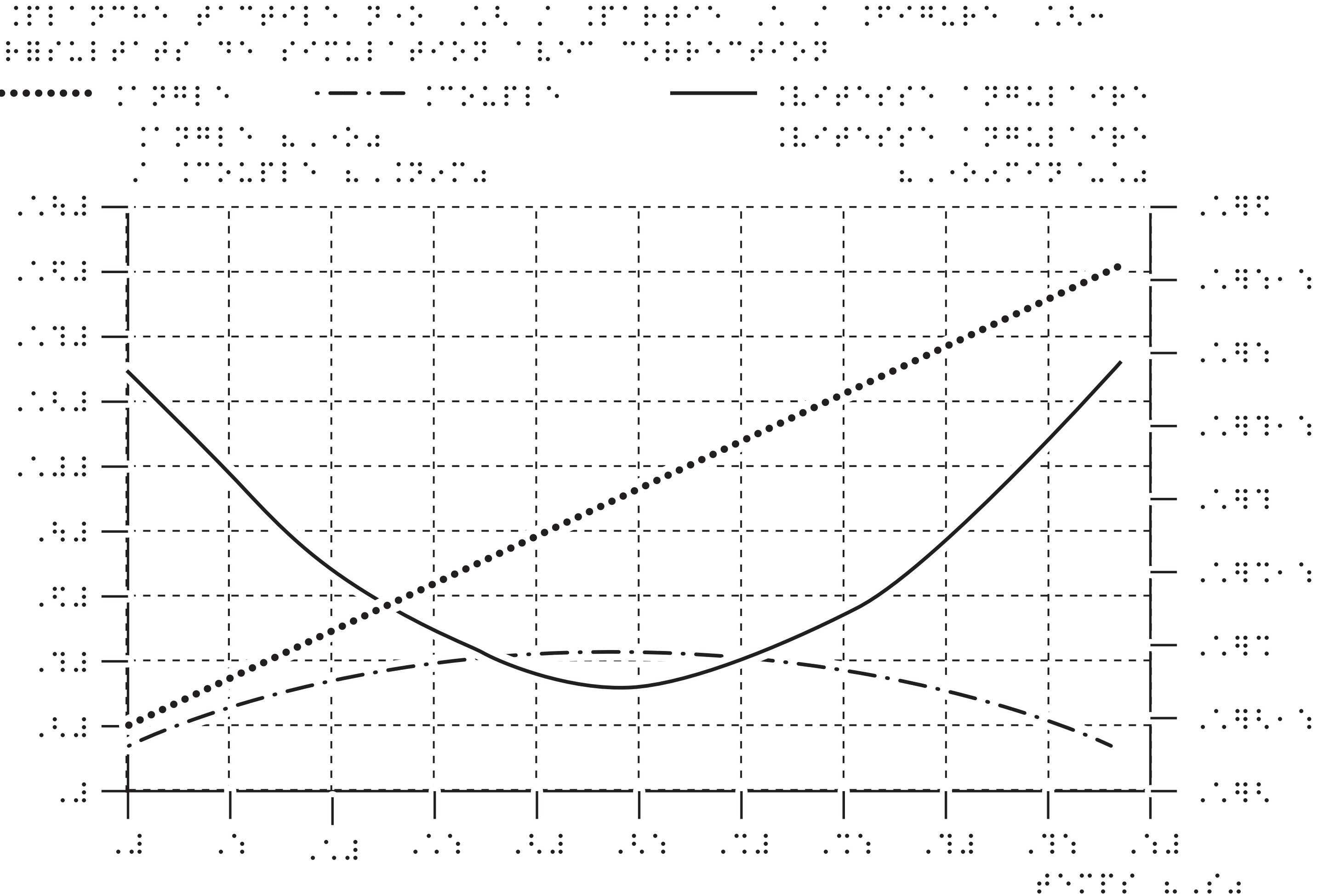
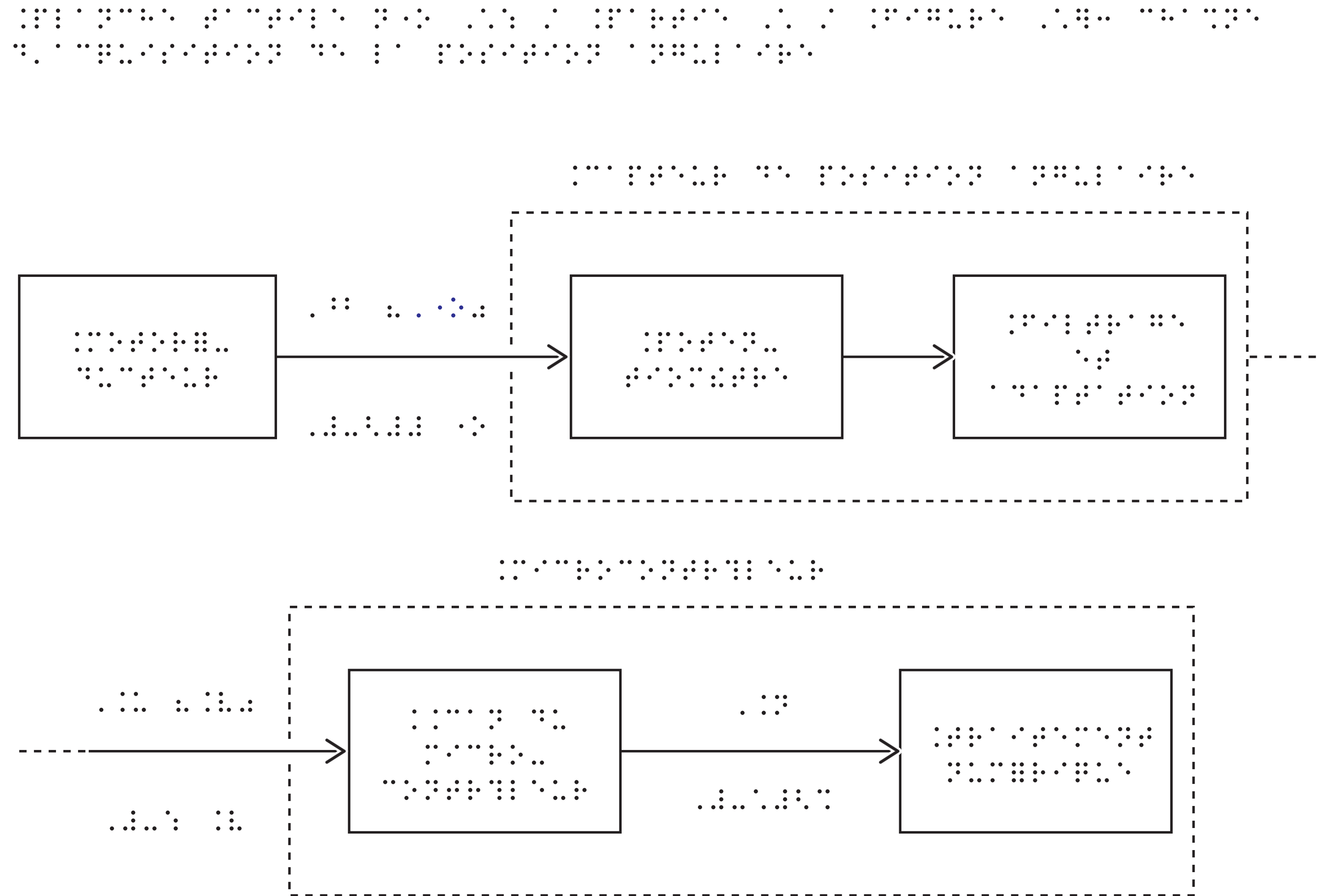


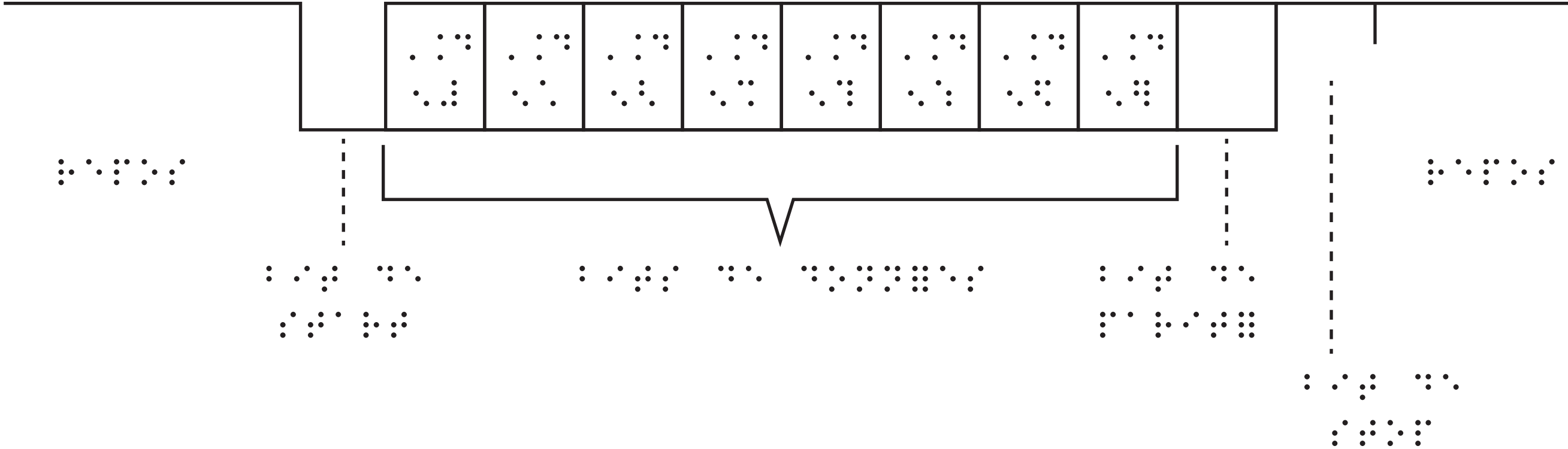


Figure 1 displays 20 small plots arranged in a 2x10 grid, showing the spatial distribution of points for different combinations of parameters  $\alpha$  and  $\beta$ . The top row corresponds to  $\alpha = 0.5$  and the bottom row to  $\alpha = 0.9$ . The columns represent  $\beta$  values from 0.0 to 0.9 in increments of 0.1. The plots illustrate how the distribution of points changes as  $\beta$  increases, showing a transition from a uniform distribution to a highly clustered distribution at the corners.

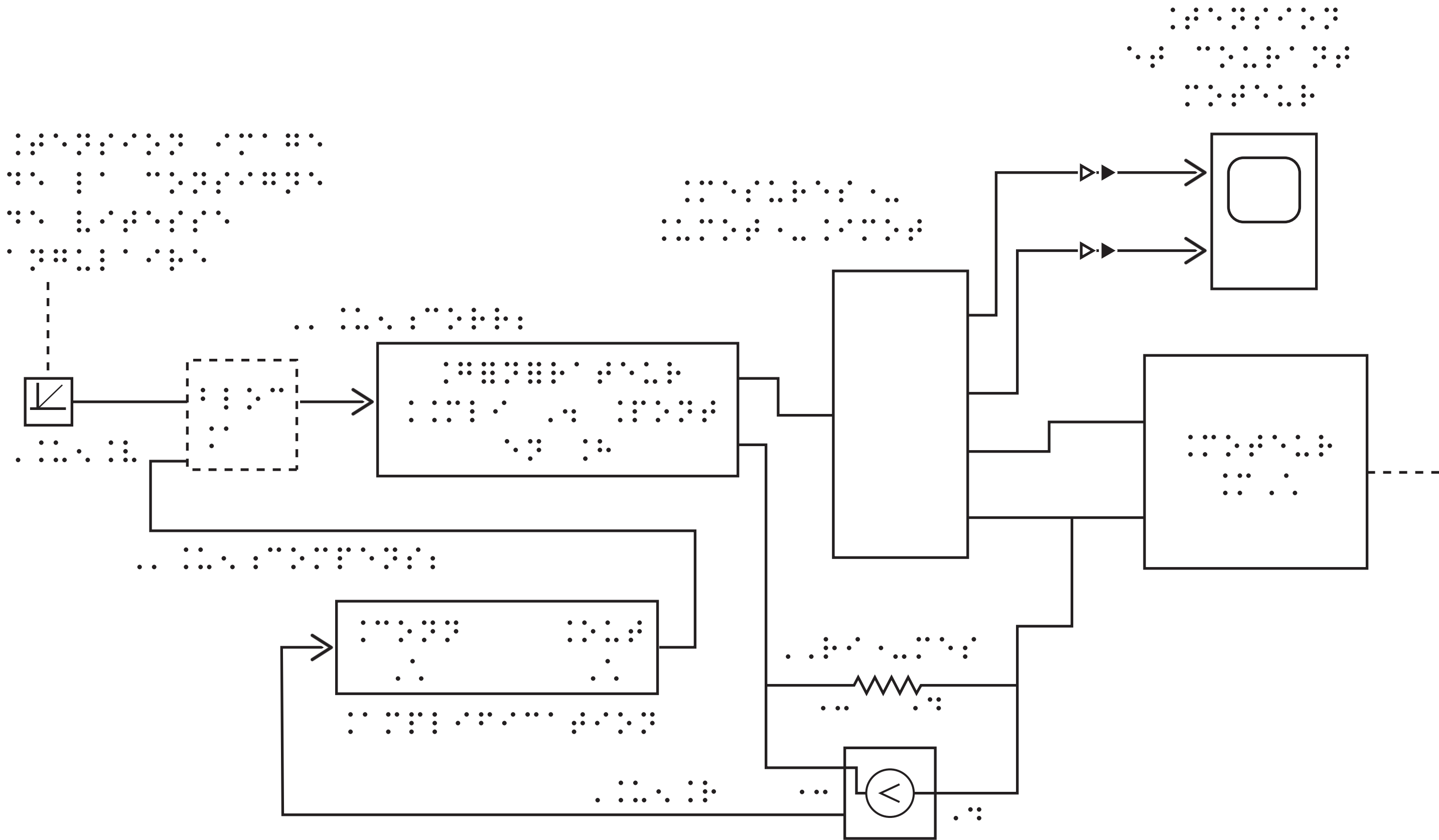
[illegible]

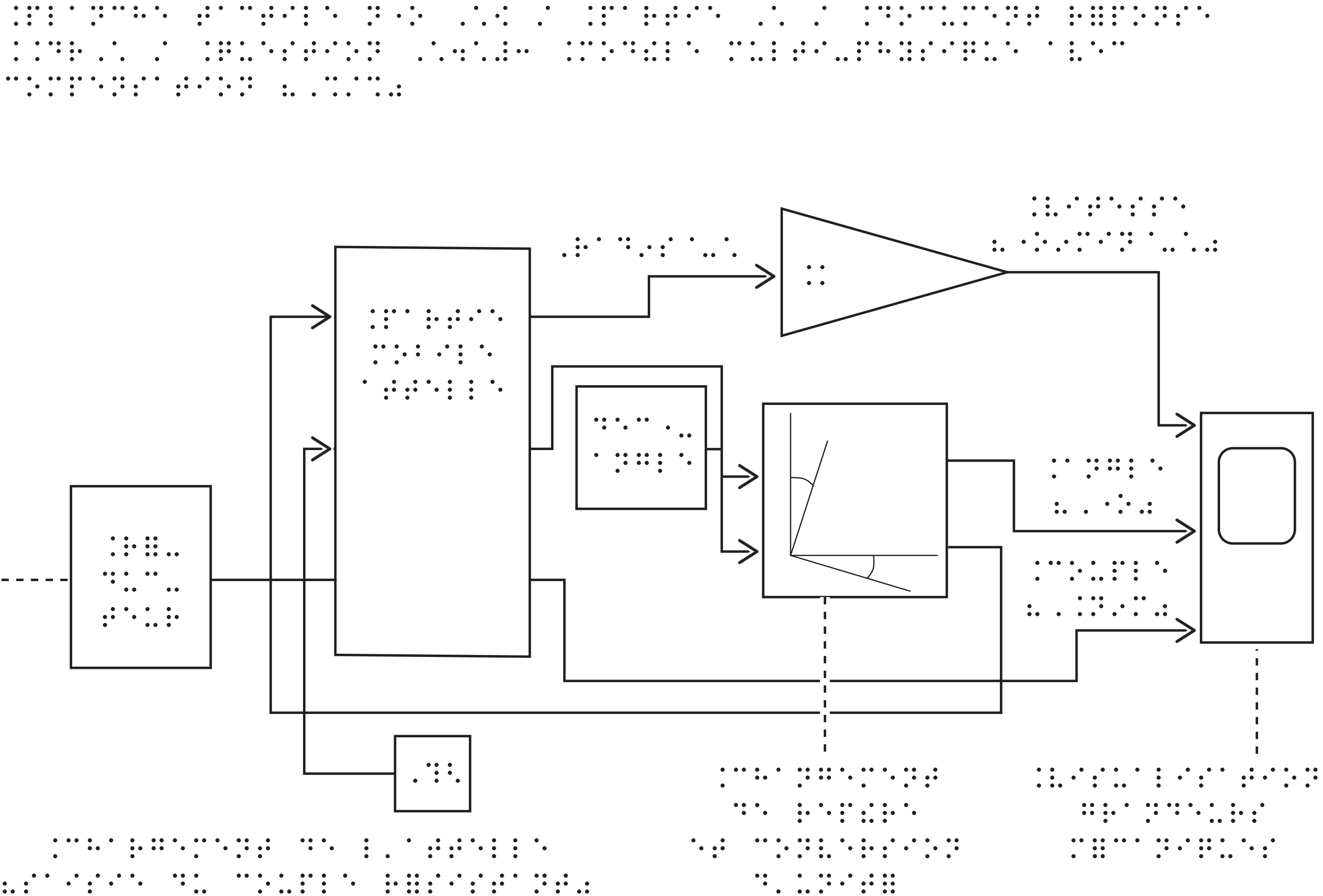


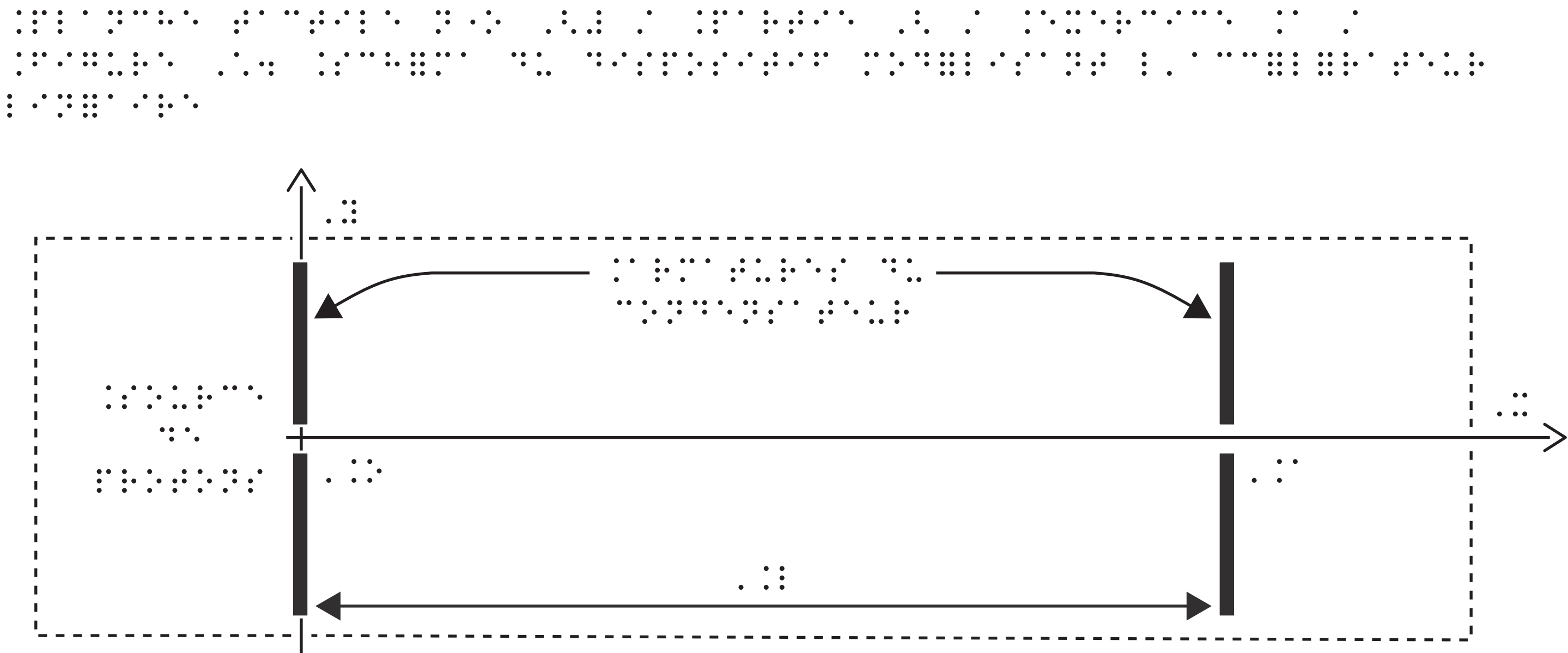




Le schéma ci-dessous illustre le principe de compensation d'un défaut de fabrication d'un composant électronique. Le défaut est représenté par une résistance dont la valeur est inférieure à la valeur nominale. La compensation est obtenue en ajoutant une résistance en série avec le composant défectueux, de manière à ramener la valeur totale de la résistance à la valeur nominale.







Le panneau photovoltaïque est un dispositif qui convertit l'énergie lumineuse en énergie électrique. Il est composé de cellules solaires qui sont reliées entre elles pour former un module. Les cellules solaires sont fabriquées à partir de silicium, un matériau semi-conducteur. Elles sont capables de générer un courant électrique lorsqu'elles sont exposées à la lumière.

Le panneau photovoltaïque est un dispositif qui convertit l'énergie lumineuse en énergie électrique. Il est composé de cellules solaires qui sont reliées entre elles pour former un module. Les cellules solaires sont fabriquées à partir de silicium, un matériau semi-conducteur. Elles sont capables de générer un courant électrique lorsqu'elles sont exposées à la lumière.

